

# 相对论核 - 核碰撞中产生的 $\Lambda$ 超子 的退极化原因探讨 \*

叶云秀<sup>1,1)</sup> 陈志<sup>1</sup> 阮图南<sup>2,1</sup> 沈激<sup>1</sup>  
吕海江<sup>1</sup> 董卫江<sup>1</sup> 萨本豪<sup>3</sup> 台安<sup>4</sup>

1(中国科学技术大学近代物理系 合肥 230026)

2(中国高等科学技术中心(世界实验室) 北京 100080)

3(中国原子能科学研究院 北京 102413)

4(中国科学院高能物理研究所 北京 100039)

**摘要** 对每核子 200GeV 的 S + Pb 中心碰撞中产生的  $\Lambda$  粒子的横向极化度消失的现象作了细致研究。用相对论核 - 核碰撞的 Monte-Carlo 事例产生器——LUCIAE 产生了相应能量下的 S + Pb 中心碰撞事例，定量地分析了消除  $\Lambda$  粒子横向极化度的各种因素，研究了反应中的二次散射、二次产生以及  $\Sigma$ ,  $\Xi$  等超子衰变产生的  $\Lambda$  粒子在总的实验测量到的  $\Lambda$  总数中的比例，确定了由这些  $\Lambda$  粒子造成的退极化度对总的  $\Lambda$  极化度的影响。模拟和计算结果表明，以上 3 个效应强烈地影响了  $\Lambda$  的横向极化度，但不可能使终态假定为强子气时  $\Lambda$  粒子的横向极化度完全消失。为了解释  $\Lambda$  极化度近于零的实验结果，可能需要在相对论重核碰撞中引进  $\Lambda$  粒子产生的新的机制，包括存在形成夸克 - 胶子等离子体(QGP)的弱效应。

**关键词**  $\Lambda$  退极化 事例产生器 夸克 - 胶子等离子体

## 1 引言

实验证明，在强子 - 核子、核子 - 核子、核子 - 核等碰撞中产生的  $\Lambda$  粒子有强的横向极化度，并与其横动量关联<sup>[1-3]</sup>。在较低能量的核 - 核反应中，也不同程度地测到了  $\Lambda$  的横向极化度<sup>[4,5]</sup>。有一些理论模型，如半经典的 Lund<sup>[6]</sup> 和 M-D<sup>[7]</sup> 模型，现代的 s 夸克散射模型<sup>[8]</sup> 和 SU(6)<sup>[9]</sup> 夸克模型各自部分地解释了这些实验现象。无论在高能质子引起的反应，还是在低能核 - 核反应中，反应区中都只可能形成强子气，形成的  $\Lambda$  粒子叫作领头(Leading)粒子，它们之所以有较强的横向极化度，用简单的 s 夸克模型来说，在质子引

1998-12-17 收稿

\* 国家自然科学基金(19675034, 19677102, 19775044)和 BEPC 国家实验室资助项目

1) E-mail: yeyx@ustc.edu.cn

起的反应中，入射质子中的  $u$  和  $d$  价夸克与反应中产生的  $s\bar{s}$  对中的  $s$  海夸克组成  $\Lambda$  粒子。 $u, d$  夸克处于自旋-同位旋单态，因而  $\Lambda$  粒子的自旋和它的极化度由  $s$  夸克决定。 $s$  夸克在产生中是极化的。而且由于“偏置效应”， $\Lambda$  粒子的极化度与其横动量相关联<sup>[6]</sup>。

在相对论核-核反应中，一方面，以“Clean-cut Geometry”模型而言，相对论核-核中心碰撞过程可以与高能核子-核子碰撞相比较，认为在核-核中心碰撞中，入射核的一个核子与靶核的  $n$  个核子相互作用， $n$  由下式决定， $n = c(A_{\text{target}}/A_{\text{proj}})^{1/3}$ ，这里  $A_{\text{target}}$  和  $A_{\text{proj}}$  分别代表靶和弹核质量数， $c$  为常数，对于核-核中心碰撞， $c = 1.5$ 。所以当相对论核-核碰撞的末态为强子态时，它有与核子-核子碰撞时形成  $\Lambda$  粒子相同的机制，即形成的 Leading  $\Lambda$  有较强的横向极化度以及与横动量的关联性。另一方面，在相对论核-核中心碰撞中，在反应区有可能造成产生夸克-胶子等离子体(QGP)的条件——高温和/或高能量密度。据推测，在这类反应中物质可能发生相变，形成夸克物质，即有可能使夸克解禁，在较大的尺度(大于核尺度)上形成 QGP<sup>[10]</sup>。 $\Lambda$  将由各自独立无关的  $u, d$  和  $s$  海夸克组成并经蒸发过程发射出来，我们称它们为“海  $\Lambda$ ”。因为极化是一个运动学为主的效果，在 QGP 中，夸克的任何方向或极化的记忆都将被抹去，因此这些  $\Lambda$  将显示零横向极化度<sup>[11]</sup>。夸克-胶子等离子体的色场具有横动量，并提供给  $s\bar{s}$  夸克对，因而破坏了特有的横动量与  $s$  夸克自旋之间，也即与  $\Lambda$  横向极化度之间的关联<sup>[11]</sup>。因此，测量和分析在相对论核-核碰撞中产生的  $\Lambda$  粒子的横向极化度，及其与横动量的关联是特别感兴趣的。R. Stock 等人在 1982 年首先提出了测量  $\Lambda$  粒子的横向极化状态可以判断反应中是否形成 QGP<sup>[12]</sup>。

国际上有两个实验组分析了在相对论重离子碰撞下产生的  $\Lambda$  粒子的横向极化度<sup>[13, 14]</sup>，他们都在一定的横动量范围内测到了  $\Lambda$  的零极化度及其与横动量的无关性。似乎可以说它们由互不相关的海夸克形成，因而可以推测反应中 QGP 形成。但是，也不能排除即使末态为强子态， $\Lambda$  本应有的较强的横向极化度而由于一些其它因素而被减小或消除。在得出 QGP 形成的肯定结论以前，需要排除这些因素。以下一些物理过程会引起  $\Lambda$  横向极化度的减小<sup>[11, 15]</sup>：

(1) 二次散射效应：包括弹性和非弹性散射。反应中直接产生的  $\Lambda$  和反应区内强子的非弹性反应减少了直接产生的  $\Lambda$  数目；对于弹性散射，由于散射后  $\Lambda$  粒子一般来说不能保持原来方向，因而改变了产生平面的原有方向，它们将随机取向，降低了  $\Lambda$  的极化度，也破坏了自旋与横动量的关联。

(2) 二次产生效应： $\pi N$  相互作用产生的  $\Lambda$  粒子不具有横向极化度。在相对论性核-核碰撞中，大量的  $\pi$  被产生，与核子发生剧烈碰撞，产生的许多  $\Lambda$  粒子将减小它们的极化度。

(3) 由  $\Sigma$  和  $\Xi$  衰变产生的  $\Lambda$  无横向极化。初级反应中  $\Sigma$  和  $\Xi$  对  $\Lambda$  的产生比在相对论核-核碰撞中并不太小，并且由于它们几乎 100% 衰变为  $\Lambda$ ，该项对  $\Lambda$  极化的影响也不容忽略。

因此，要确认 QGP 的形成，就必须考虑到这 3 个因素的影响。并且，碰撞核越大，能量越高，这些因素越重要。以前只是有人定性地考虑了再散射会对  $\Lambda$  极化造成影响<sup>[5]</sup>。本文用 Monte-Carlo 模拟事例产生器 LUCIAE<sup>[16]</sup> 来模拟在每核子 200GeV 的 S+Pb 中心碰撞中以上 3 个因素对  $\Lambda$  极化的定量影响，最后确认在散射等效应后剩余的直

接产生的 $\Delta$ 对实测 $\Delta$ 产额的比值.

## 2 事例产生器的物理考虑

我们所用的 Monte-Carlo 事例产生器 LUCIAE 是基于 FRITIOF, FIRECRACKER 模型和再散射模型基础上的. LUCIAE 对 FRITIOF<sup>[17]</sup>作了下列改进: 用 FIRECRACKER 模型(FCM)描述辐射胶子时各条弦间的集体作用<sup>[18]</sup>, 并考虑了产生粒子在核内的再散射<sup>[19]</sup>. 在 FRITIOF 中, 两强子通过纵动量转移而激发, 形成色偶极子, 激发态按软辐射模型发射轫致胶子. 退激发的强子被描述为 LUND 弦, 按 LUND 弦的碎裂机制衰变为末态产物. FRITIOF 中的强子实际上是一条无质量的相对论性的弦, 弦间的相互作用类似于第二类超导体中涡旋线的约束色力场. 在相对论性核-核碰撞中一般会形成许多互相靠近的弦, 它们将受到这种力的作用, FRITIOF 未考虑这一点. 在 LUCIAE 中加上了 FCM 来描述这一作用. FCM 假定相邻的弦组成群, 群相当于相互作用的量子态, 它具有大的公共能量密度, 影响轫致胶子的发射和碎裂性质<sup>[18]</sup>. LUCIAE 用再散射模型<sup>[19]</sup>来描述产生粒子彼此间及其与参与和旁观核子间的再作用. 此模型假设产生粒子和参与(受伤)核子随机分布在一定参数下的弹核与靶核之间的几何交叠区内, 靶(弹)旁观者随机分布于交叠区域外, 但在靶(弹)球之内. 在再散射过程中, 运动中的强子被视为经典的点粒子, 两次连续碰撞之间的轨迹为直线, 而碰撞发生与否按两粒子最近距离  $d_{\min}$  是否小于  $\sqrt{\sigma_{\text{tot}}/\pi}$  确定,  $\sigma_{\text{tot}}$  为总截面.

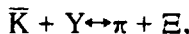
LUCIAE 考虑了弹性散射和非弹性散射<sup>[19]</sup>, 弹性散射的发生按以下条件确定: 发生碰撞的两粒子 i 和 j, 若在它们的质心系中,  $\sigma_d/\sigma_{\text{tot}} \geq \xi$  ( $\xi$  为  $[0, 1]$  随机数), 则认为是弹性碰撞. 散射都在碰撞粒子的质心系中进行. 由于是弹性碰撞, 反应前后粒子动量模不变. 对非弹性散射, LUCIAE 共考虑了 295 个包含奇异粒子的非弹性散射道. 其余未考虑的道(如  $N + N \rightarrow N + Y + K$ )按弹性散射处理. 对  $\pi N \rightarrow KY$  ( $Y$  为  $\Lambda$ , 以下同)及其它奇异夸克产生截面, 采用同位旋平均参数化公式处理, 并考虑了各道阈能. 奇异夸克交换反应如  $\bar{K}N \rightarrow \pi Y$ , 假设其截面为奇异夸克产生反应截面的 10 倍. 求逆反应截面时, 利用了细致平衡假设.

反应中  $\pi$ ,  $\Sigma$  和  $\Xi$  的多重产生以及  $\pi$  与靶核子的再相互作用的二次产生截面在 LUCIAE 模拟程序中由我们输入的反应性质  $S + Pb$  以及入射核能量, 即每核子 200GeV 而决定.  $\Sigma$ ,  $\Xi$  到  $\Delta$  的衰变几率由 LUND 模型的子程序 JETSET 执行.

## 3 实验结果与讨论

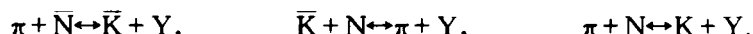
每核子 200GeV 的  $S + Pb$  中心碰撞中, 影响  $\Delta$  极化的二次非弹散射主要包括以下一些道:





因为直接产生的  $\Lambda$  远少于  $\pi$ , 由二次非弹性散射而损失的  $\Lambda$  并不太多, 更重要的是弹性散射。为了统计出弹性散射的  $\Lambda$  数目及散射后剩余的直接  $\Lambda$  的分布, 我们采用了以下办法: 只要  $\Lambda$  粒子与其它粒子发生一次弹性散射, 就将其变为  $\Lambda'$ , 并进行计数。对非弹性散射, 最后得到的  $\Lambda$  已不包含它的贡献(即测到的已不是  $\Lambda$ ), 我们采取间接的方法, 进行几次不同初始条件的模拟, 从而计算出非弹性散射的多重数。一般而言, 尤其是相对论性核-核碰撞中各粒子将发生剧烈的集体效应, 弹性散射的比例较大, 而非弹性散射对极化的影响相对小一些。从表 1 中可以看到, 受到弹性散射的  $\Lambda$  粒子占总测量到的  $\Lambda$  粒子的 31% 左右。由非弹性散射而损失掉的  $\Lambda$  粒子占总  $\Lambda$  粒子的 6% 左右。

二次产生道主要是:



其中以第 3 个反应道为主。在 LUCIAE 中, 通过关闭这些道, 可以观察到二次产生效应对极化的影响。结果见表 1, 约占总测量到的  $\Lambda$  的 16%。

由  $\Sigma$  和  $\Xi$  产生的  $\Lambda$ , 在 LUCIAE 中, 通过禁止  $\Sigma$  和  $\Xi$  衰变, 可得到由  $\Sigma$  和  $\Xi$  产生的  $\Lambda$  的数目。高能核-核碰撞下由于奇异性的增强, 将产生更多的  $\Sigma$  和  $\Xi$ , 它们与  $\Lambda$  的比值也将上升, 大约占全部  $\Lambda$  的 30%(见表 1), 从而减小  $\Lambda$  的横向极化度。

表 1  $\Lambda$  的多重数

	1	2	3	4	5	6
多重数	14.2546	4.3463	0.8543	2.2480	4.1413	3.5190
%	100	30.5	6.0	15.8	29.1	24.7

注: 1. 全空间(能测到的)的  $\Lambda$ ; 2. 受到弹性散射的  $\Lambda$  的比例; 3. 受到非弹性散射的  $\Lambda$  的比例; 4. 二次产生的  $\Lambda$ ; 5. 由  $\Sigma$ ,  $\Xi$  衰变而得的  $\Lambda$ ; 6. 经过以上作用后剩余的直接产生  $\Lambda$  粒子。

从表 1 可以看到, 在每核子 200GeV S-Pb 中心碰撞中, 由于强烈的集体作用及再散射, 直接产生的  $\Lambda$  大多失去了它原有的极化度以及自旋与横向动量的关联, 仅有  $0.247/(1 - 0.060) = 0.263$  的  $\Lambda$  属于直接产生且未失去极化信息的 Leading  $\Lambda$ 。实验指出<sup>[2]</sup>, 在 N-N 中心碰撞中(N 代表核子), 当  $p_t \sim 1.2\text{GeV}$  时,  $\Lambda$  横向极化度为  $\sim 0.45$ 。在这类反应中, 可以认为 Leading  $\Lambda$  粒子的产生过程不受以上 3 个效应的干扰。相对论核-核中心碰撞中, 实验上<sup>[14]</sup>在横向动量为  $0.5\text{--}2.0\text{GeV}/c$  之间测到的  $\Lambda$  粒子的平均横向极化度为  $0.043 \pm 0.022$ (此结果应含有以上三个效应)。假定此反应的末态为强子态, 那么核-核中心碰撞可描写为核子-核子碰撞迭加情形下的  $\Lambda$  粒子的平均横向极化度, 其值约为  $0.45 \times 0.263 \approx 0.12$ 。实验上观察到的极化度 0.043 比该值小得多; 也较核子-核(P+A)碰撞(A=Be, 能量在 20—400GeV,  $p_t \sim 1.2\text{GeV}$ )中测得的极化度  $0.23 \pm 0.05^{[11]}$  小。因此, 在相对论核-核碰撞中, 如果末态为强子气, 至少实验上应测到  $\sim 12\%$  的极化度。所以仅仅依靠以上再散射等效应, 不能完全解释极化度这么低的事实, 可能存在着别的动力学机制使  $\Lambda$  的横向极化度减小, 也不能排除在中心碰撞区有部分 QGP 形成(虽然这是一个弱的效应)。

综上所述, 从 LUCIAE 模拟产生的每核子 200GeV 的 S+Pb 中心碰撞中看到, 二次散射效应, 二次产生效应及  $\Sigma$  和  $\Xi$  衰变到  $\Lambda$  对  $\Lambda$  的极化度有明显的影响, 表明相对论核

-核碰撞中的集体效应和再散射效应使 $\Lambda$ 的极化度减为初值的25%左右;但不足以解释实验中的 $\Lambda$ 的近乎零的极化度。这表明在每核子200GeV的S+Pb中心碰撞中有可能存在着别的动力学机制使 $\Lambda$ 的横向极化度减小,其中也不排除在中心碰撞区有部分QGP形成的可能性。

感谢NA36合作组提供实验原始数据。

### 参考文献(References)

- 1 Gourlay S A, Melanson H L, Abolins M A et al. Phys. Rev. Lett., 1986, **56**:2244—2247
- 2 Aahlén P, Frodesen A G, Alpgård K et al. Lett. Nuov. Cimento, 1978, **21**:236—238
- 3 Abe F, Hara K, Kimura S et al. Phys. Rev., 1986, **D34**:1950—1959
- 4 Anikina M, Aksineko V, Dementiev E et al. Z. Phys., 1984, **C25**:1—11
- 5 Harris J W, Sandoval A, Stock R et al. Phys. Rev. Lett., 1981, **47**:229—234
- 6 Anderson B, Gustafson G, Ingelman G et al. Phys. Rep., 1983, **97**:31—145
- 7 DeGrand T A, Markkanen J, Miettinen H I. Phys. Rev., 1985, **D32**:2445—2448
- 8 Szwed J. Phys. Lett., 1981, **B105**:403—405
- 9 Heller K, Cox P T, Dworkin J et al. Phys. Rev. Lett., 1978, **41**:607—610
- 10 Satz H. Ann. Rev. Nucl. Part. Sci., 1985, **35**:245—270; Casher A, Neuberger H et al. Phys. Rev., 1979, **D20**:179—188
- 11 Panagiotou A D. Phys. Rev., 1986, **C33**:1999—2002
- 12 Stock R, Angert N, Bialkowska H et al. Quark Matter Formation and Heavy Ion Collisions, World Scientific, Singapore, 1982, 557—582
- 13 Bartke J, Bialkowska H, Bock R et al. Z. Phys., 1990, **C48**:191—200
- 14 YE YunXiu, SU SuFang, ZHOU Xin et al. High Energy Phys. and Nucl. Phys., (in Chinese), 1996, **20**:685—690  
(叶云秀, 苏淑芳, 周忻等. 高能物理与核物理, 1996, **20**:685—690)
- 15 Miyano K, Noguchi Y, Fukawa M et al. Phys. Rev. Lett., 1984, **53**:1725—1727
- 16 SA BenHao, TAI An. Comp. Phys. Commu., 1995, **90**:121—140
- 17 Andersson B, Gustafson G, Hong Pi. Z. Phys., 1993, **C57**:485—494
- 18 Andersson B, TAI A. Z. Phys., 1996, **C31**:155
- 19 SA BenHao, WANG ZhongQi, ZHANG XiaoZe et al. Phys. Rev., 1993, **C48**:2995—2998

## Exploration for Degradation of $\Lambda$ Polarization Produced in Relativistic Nucleus-Nucleus Collisions

YE YunXiu<sup>1,1)</sup> CHEN Zhi<sup>1</sup> RUAN TuNan<sup>2,1</sup> SHEN Ji<sup>1</sup>  
LÜ HaiJiang<sup>1</sup> DONG WeiJiang<sup>1</sup> SA BenHao<sup>3</sup> TAI An<sup>4</sup>

<sup>1</sup>(*Department of Modern Physics, University of Science and Technology of China, Hefei 230026, China*)

<sup>2</sup>(*CCAST (World Laboratory), Beijing 100080, China*)

<sup>3</sup>(*China Institute of Atomic Energy, Beijing 102413, China*)

<sup>4</sup>(*Institute of High Energy Physics, The Chinese Academy of Sciences, Beijing 100039, China*)

**Abstract** The degradation of  $\Lambda$  transverse polarization produced in S + Pb central collisions at energy 200 GeV per nucleon has been studied in detail. The S + Pb central collision events have been generated using Monte-Carlo generator——LUCIAE at 200 GeV per nucleon. The various factors degrading  $\Lambda$  transverse polarization have been analysed quantitatively. The ratios of  $\Lambda$ 's produced from rescattering, secondary production and decays of  $\Sigma$ ,  $\Xi$  hyperons to the total measurable  $\Lambda$ 's in experiment have been investigated and the degradation effect of these  $\Lambda$  on the total polarization has been determined. The simulation and calculation show that above three factors decrease the  $\Lambda$  transverse polarization strongly, however, can not eliminate the polarization completely when the  $\Lambda$ 's are assumed to be produced from hadronic gas in the final state. To explain the experimental data of vanished  $\Lambda$  polarization, it probably needs to consider new mechanisms of  $\Lambda$  production, including a weak effect of QGP formation.

**Key words** degradation of  $\Lambda$  polarization, event generator, quark-gluon plasma

---

Received 17 December 1998

\* Project supported by National Natural Science Foundation of China (19675034, 19677102, 19775034) and BEPC National Lab.

1) E-mail: [yeyx@ustc.edu.cn](mailto:yeyx@ustc.edu.cn)